

## Efficiency of multi-walled carbon nanotubes for removal of 2-naphthol orange dye from aqueous solutions

SP. Moussavi\*

MM. Emamjomeh\*\*

\*M.Sc. in Environmental Health Engineering, Yazd University of Medical Sciences, Yazd, Iran

\*\*Associate Professor of Environmental Health Engineering, Social Determinants of Health Research Center, Qazvin University of Medical Sciences, Qazvin, Iran

### #Abstract

---

**Background:** Carbon nanotubes have been considered as dye adsorbent. The colored wastewater must be treated to reduce the environmental risks.

**Objective:** The aim of this study was to determine the efficiency of multi-walled carbon nanotubes for removal of 2-naphthol orange dye from aqueous solutions.

**Methods:** This experimental study was conducted at school of public health affiliated to Yazd University of medical sciences during 2012. The effects of different parameters including detention time, PH value, mixing intensity, the initial concentration of dye, and carbon nanotubes dosage were studied for removal of dye. All experiments were repeated twice and then adsorption isotherms and kinetics of different models were analyzed by comparing the coefficient of determination.

**Findings:** The maximum dye adsorption occurred during the first 30 minutes. The sorption capacity for adsorption of the dye was found to be 2.76 mg/gr. The dye removal efficiency was increased from 87% to 97.2% by decreasing the initial concentration of dye from 100 to 25 mg/l. By increasing the adsorbent dose from 0.05 to 0.4 g/l, the dye removal efficiency was increased from 70.7% to 94.8%. The general order kinetic model provided the best fit to the pseudo-second order kinetic adsorption model and the equilibrium data were best fitted to the Freundlich isotherm model. The maximum efficiency was found to be 97.2%.

**Conclusion:** Multi-walled carbon nanotubes can be effective for removal of 2-naphthol orange dye.

---

**Keywords:** Carbon, Nanotubes, 2-naphthol, Dye, Wastewater

---

**Corresponding Address:** Mohammad Mahdi Emamjomeh, School of Public Health, Qazvin University of Medical Sciences, Shahid Bahonar Blvd., Qazvin, Iran

**Email:** m\_emamjomeh@yahoo.com

**Tel:** +98-281-2237269

**Received:** 10 Jun 2013

**Accepted:** 19 Oct 2013

## بررسی کارآیی نانوتیوب‌های کربنی چند جداره در حذف رنگ ۲- نفتول نارنجی از محلول‌های آبی

دکتر محمد مهدی امام جمعه\*

سیده پروین موسوی\*

\* کارشناس ارشد مهندسی بهداشت محیط پردیس بین‌الملل دانشگاه علوم پزشکی شهید صدوقی بزد

\*\* دانشیار مهندسی بهداشت محیط مرکز تحقیقات عوامل اجتماعی مؤثر بر سلامت دانشگاه علوم پزشکی قزوین

آدرس نویسنده مسؤول: قزوین، بلوار شهید باهنر، دانشگاه علوم پزشکی قزوین، دانشکده بهداشت، تلفن ۰۲۶۹-۲۲۳۷۲۶۹

Email: m\_emamjomeh@yahoo.com

تاریخ پذیرش: ۹۲/۷/۲۷

تاریخ دریافت: ۹۲/۲/۲۰

### \*چکیده

**زمینه:** نانوتیوب‌های کربنی به عنوان جاذب مورد توجه هستند. پساب‌های رنگی باید تصفیه شوند تا خطرات زیست محیطی کاهش یابد.

**هدف:** مطالعه به منظور تعیین کارآیی نانوتیوب‌های کربنی چند جداره در حذف رنگ ۲- نفتول نارنجی از محلول‌های آبی انجام شد.

**مواد و روش‌ها:** این مطالعه تجربی در سال ۱۳۹۱ در دانشکده بهداشت دانشگاه علوم پزشکی بزد انجام شد. اثر زمان تماس، pH، شدت اختلاط، غلظت اولیه رنگ و دوز نانوتیوب‌ها در حذف رنگ بررسی شد. نمونه‌ها با دو بار تکرار مورد آزمون قرار گرفتند و مدل‌های مختلف ایزوترم و سرعت واکنش جذب از طریق مقایسه ضریب تعیین تحلیل شدند.

**یافته‌ها:** حداقل جذب رنگ در ۳۰ دقیقه اول و ظرفیت جذب سطحی رنگ ۲/۷۶ میلی‌گرم بر گرم بود. با کاهش غلظت اولیه رنگ از ۱۰۰ به ۲۵ میلی‌گرم در لیتر، کارآیی حذف از ۸۷٪ به ۹۷٪ افزایش یافت و با افزایش جاذب از ۰/۰۵ به ۰/۴ گرم، کارآیی حذف از ۷۰٪ به ۹۴/۸٪ افزایش یافت. سرعت واکنش از معادله درجه دوم کاذب و ایزوترم از مدل فرونالیچ تعیین کرد و حداقل کارآیی حذف ۹۷٪ بود.

**نتیجه‌گیری:** نانوتیوب‌های کربنی چند جداره به دلیل عملکرد قابل توجه می‌توانند جهت حذف رنگ ۲- نفتول نارنجی مؤثر باشند.

**کلیدواژه‌ها:** کربن، نانوتیوب‌ها، ۲- نفتول، رنگ، پساب

### \*مقدمه:

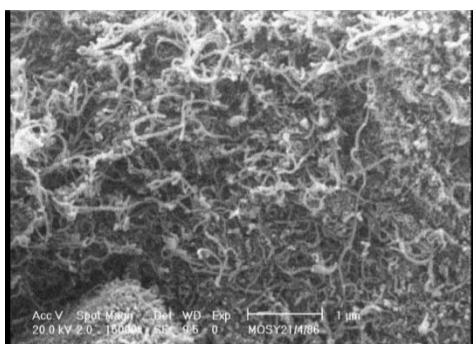
تصفیه زیستی، انقاد و لخته‌سازی، تصفیه با ازن، انقاد الکتروشیمیایی، اکسیداسیون شیمیایی، فیلتراسیون غشایی، تبدال یون، تجزیه فتوکاتالیتیکی و جذب سطحی.<sup>(۱-۱۱)</sup> اگرچه تصفیه زیستی نسبت به سایر روش‌ها، هزینه کمتری دارد، ولی در رنگبری کاربردی ندارد؛ زیرا رنگ‌ها سمی هستند و کارآیی حذف این روش در حضور ترکیب‌های سمی، کاهش قابل ملاحظه‌ای دارد.<sup>(۱۲)</sup>

اکثر مطالعه‌های انجام شده در زمینه حذف رنگ‌ها، بر پایه فرآیندهای اکسیداسیون پیشرفت‌ه است که علی‌رغم میزان بالای حذف رنگ، تشکیل محصول‌های جانبی یکی از معایب این روش محسوب می‌شود. فرآیند جذب روشی ساده، بسیار مؤثر و با بهره‌برداری آسان است.<sup>(۱۳-۱۵)</sup>

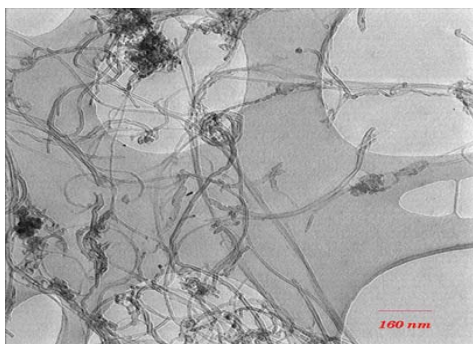
رنگ‌ها به طور گستردگی در نساجی، چرم‌سازی، کاغذسازی، پلاستیک و صنایع دیگر به کار می‌روند.<sup>(۱-۳)</sup>

رنگ‌ها موادی با ساختار پیچیده هستند که طی مراحل مختلف نظری رنگرزی و تکمیل در صنعت نساجی به محیط زیست وارد می‌شوند.<sup>(۴)</sup> صنعت نساجی آب زیادی مصرف می‌کند و یکی از بزرگ‌ترین تولیدکنندگان فاضلاب صنعتی است.<sup>(۵)</sup> رنگ زیاد در فاضلاب می‌تواند شفافیت آب و فتوسنتز را کاهش دهد. به همین علت، پساب‌های رنگی باید قبل از تخلیه تصفیه شوند تا تهدید زیست محیطی را کاهش دهند.<sup>(۶)</sup>

رنگ‌ها به طور معمول شامل راکتیو، دیسپرس، اسیدی و مستقیم هستند.<sup>(۷)</sup> برای حذف این ترکیب‌ها از پساب‌های رنگی، روش‌های متعددی توسعه یافته‌اند؛ مانند



شکل ۱- نمای میکروسکوپی الکترونی روبشی نانوتیوب‌های کربنی چند جداره



شکل ۲- نمای میکروسکوپی الکترونی عبوری نانوتیوب‌های کربنی چند جداره

برای تهییه نمونه‌ها از رنگ ۲- نفتول نارنجی (شرکت Aldrich آمریکا) استفاده شد. رنگ از نوع اسیدی با فرمول  $C_{16}H_{11}N_2NaO_4S$  و وزن مولکولی ۳۵۰/۳۳ گرم بر مول و طول موج حداقل  $484\text{ nm}$  تهییه شد. برای تهییه محلول‌ها با غلظت‌های مشخص از محلول ۱۰۰ میلی‌گرم در لیتر رنگ استفاده شد. با توجه به آزمایش‌های اولیه انجام شده و مطالعه‌های مشابه، متغیرهای مختلف مؤثر در حذف رنگ شامل زمان تماس، pH، غلظت اولیه رنگ، دوز نانوتیوب‌های کربنی و شدت اختلاط برای حذف رنگ مطالعه شدند. از هیدروکسید سدیم و اسید کلریدریک  $1/10$  نرمال جهت تنظیم pH نمونه‌ها استفاده شد. جاذب نانوتیوب‌های کربنی چند جداره در دوزهای مختلف  $0.05/0.1/0.2/0.4$  گرم در لیتر برای

جاذب‌های مختلفی مانند خاک رسی، کربن فعال، چیتوسان، خاکستر فرار، نانوماد و سایر جاذب‌ها برای حذف رنگ از محلول‌های آبی مورد بررسی قرار گرفته‌اند. در این میان نانوتیوب‌های کربنی (CNTs) برای حذف موققیت‌آمیز رنگ از محلول‌های آبی پیشنهاد شده‌اند. نانوتیوب‌های کربنی در سال ۱۹۹۱ توسط سومیا ایجیما کشف شدند و شامل نانوتیوب‌های کربنی چند جداره (MWCNTs) و نانوتیوب‌های کربنی تک جداره (SWCNTs) هستند.<sup>(۱۳-۱۵)</sup> نانوتیوب‌های کربنی به علت ساختار لوله‌ای توخالی منحصر به فرد، خصوصیات الکترونیکی، دارا بودن کاربردهای متنوع در وسایل ذخیره هیدروژن و سنسورها و همچنین خصوصیات فیزیکی و شیمیایی منحصر به فرد، بسیار مورد توجه هستند.<sup>(۱۶)</sup> نانوتیوب‌های کربنی می‌توانند جاذب ایده‌آلی برای حذف رنگ از فاضلاب باشند.<sup>(۱۷)</sup> نانوتیوب‌های کربنی به علت سطح مخصوص زیاد، اندازه کوچک و ساختار لایه‌ای و توخالی برای حذف آلاینده‌های آبی و غیرآلی از فاضلاب، به عنوان جاذبی جدید مورد توجه محققان قرار گرفته‌اند.<sup>(۱۸-۲۰)</sup> خصوصیات ساختاری مثل قطر منفذ و تخلخل نانوتیوب‌های کربنی می‌تواند میزان جذب را تعیین کند.<sup>(۱۱)</sup> این مطالعه با هدف تعیین کارآیی نانوتیوب‌های کربنی چند جداره در جذب رنگ ۲- نفتول نارنجی از محلول‌های آبی انجام شد.

## \* مواد و روش‌ها:

این مطالعه تجربی در سال ۱۳۹۱ در آزمایشگاه پایلوت دانشکده بهداشت دانشگاه علوم پزشکی شهید صدوقی یزد انجام شد. نانوتیوب‌های کربنی چند جداره، محصول پژوهشگاه صنعت نفت ایران و دارای مشخصات زیر بود: قطر داخلی  $3/8$  نانومتر، قطر خارجی  $10$  تا  $30$  نانومتر، طول  $10$  میکرومتر، خلوص  $95$  درصد، مساحت سطح ویژه  $270$  مترمربع بر گرم و هدایت الکتریکی  $1500$  (شکل‌های شماره ۱ و ۲).

معادله های زیر محاسبه شد:<sup>(۱۷)</sup>

$$q_e = \frac{q_{\max} K_L C_e}{1 + K_L C_e}$$

معادله لانگمیر

غلظت ماده جذب شونده در فاز جامد در تعادل ( $mg/g$ )<sup>e</sup>= $q_e$   
=  $K_L$  ثابت تعادل،  $C_e$ =غلظت تعادلی  
 محلول رنگی

$$q_e = K_F C_e^{1/n}$$

معادله فروندلیج

$K_F$ =ظرفیت جذب در واحد غلظت،  $1/n$ =شدت جذب سطحی  
به منظور تهیه اطلاعاتی در مورد عوامل مؤثر بر سرعت واکنش، از دو مدل درجه اول و دوم کاذب استفاده شد که به طور گسترده برای فرآیندهای جذب به کار می روند.

$$\frac{dq_t}{dt} = k_1(q_e - q_t)$$

سرعت واکنش درجه اول کاذب

$q_t$  به ترتیب = مقدار رنگ جذب شده روی جاذب در زمان  $t$  و در زمان تعادل،  $k_1$  برابر است با ثابت سرعت جذب

$$\frac{dq_t}{dt} = k_2(q_{e2} - q_t)^2$$

سرعت واکنش درجه دوم کاذب

با توجه به این معادله، ارتباط بین  $t/q_t$  و زمان به صورت خطی و شبی خط حاصل برابر  $1/q_t$  و عرض از مبدأ آن  $1/k_2 q_{e2}^2$  است که این ضرایب با رسم تغییرات  $t/q_t$  در مقابل زمان به دست آمده است.<sup>(۱۸)</sup>

مدل های مختلف ایزوترم و سرعت جذب نیز از طریق مقایسه ضریب تعیین ( $R^2$ ) کل تعداد نمونه ها به وسیله نرم افزار اکسل نسخه ۲۰۰۷ تحلیل شدند.

### \* یافته ها:

مقدار pH محلول نقش مهمی در فرآیند و میزان ظرفیت جذب داشت. حداقل کارآیی جذب در محیط قلیایی بود؛ به طوری که با تغییر pH از ۳ به ۷، تغییر چشمگیری در حذف رنگ مشاهده نشد ولی ظرفیت جذب رنگ با افزایش pH از ۷ تا ۱۱، کاهش شدیدی یافت. با افزایش غلظت اولیه رنگ ۲- نفتول نارنجی در زمان های مختلف، ظرفیت جذب سطحی افزایش، ولی

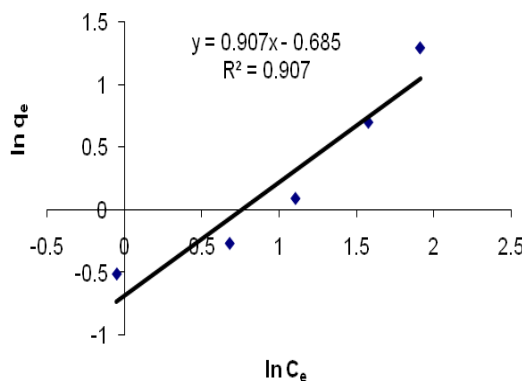
حذف محلول های رنگی با غلظت های مختلف ۲۵ تا ۱۰۰ میلی گرم در لیتر در مدت زمان های مختلف ۳۰ تا ۱۸۰ دقیقه آزمایش شد. اختلاط بین شدت های ۴۰ تا ۱۲۰ دور در دقیقه بر روی شیکر انجام شد. اثر pH محلول بر جذب رنگ روی نانوتیوب های کربنی چند جداره در شرایط زیر مطالعه شد: دمای ۲۵ درجه سانتی گراد، غلظت اولیه ۲۵ میلی گرم بر لیتر، دوز جاذب  $1/3$  گرم در لیتر و شدت اختلاط ۱۲۰ دور در دقیقه (rpm). سپس اثر غلظت های اولیه رنگ با مقادیر ۲۵، ۵۰، ۷۵ و ۱۰۰ میلی گرم بر لیتر در زمان های ۳۰، ۶۰، ۹۰، ۱۲۰، ۱۵۰ و ۱۸۰ دقیقه در دمای ۲۵ درجه سانتی گراد، pH=۳ و دوز جاذب  $1/3$  گرم در لیتر نانوتیوب کربنی چند جداره (حجم نمونه ۱۰۰ میلی لیتر) بررسی شدند. همچنین اثر شدت اختلاط در مقادیر ۴۰، ۶۰، ۸۰، ۱۰۰ و ۱۲۰ دور در دقیقه با غلظت اولیه رنگ ۲۵ میلی گرم بر لیتر در زمان ۱۸۰ دقیقه در دمای ۲۵ درجه سانتی گراد، pH=۳ و دوز  $1/3$  گرم در لیتر نانوتیوب های کربنی چند جداره مورد مطالعه قرار گرفت. تأثیر دوز های جاذب  $1/1$ ،  $1/2$ ،  $1/3$  و  $1/4$  گرم در لیتر نانوتیوب های کربنی چند جداره بر کارآیی حذف رنگ ۲- نفتول نارنجی در غلظت های اولیه مختلف رنگ بررسی شد. در پایان هریک از مراحل آزمایش، از فیلتر استات سلولز  $1/2$  میکرون محصول شرکت سارتریوس آلمان برای جداسازی نانوتیوب ها از محلول، استفاده شد و سنجش غلظت رنگ در نمونه های استاندارد و مجهول با استفاده از اسپکتروفوتومتر UV/Visible مدل SP-3000 Puls ژاپن و رسم منحنی کالیبراسیون در طول موج ۴۸۴ نانومتر انجام شد.<sup>(۱۹)</sup> تمام آزمایش ها دو بار تکرار و میزان جذب رنگ با معادله زیر محاسبه شد:

$$q_e = \frac{(C_0 - C_e)}{M} \times V$$

$C_0$ =غلظت اولیه رنگ (mg/l)،  $C_e$ =غلظت پایانی رنگ (mg/l)،  $M$ =میزان نانوتیوب کربنی چند جداره مصرفی (g)،  $V$ =حجم مایع در این تحقیق داده های تجربی تعادل جذب با مدل های ایزوتوم لانگمیر و فروندلیج که بیان گر ارتباط تعادلی غلظت ماده حذف شونده بین ماده جاذب و محلول است، با

حداکثر کارآیی حذف ۹۷/۲ درصد بود. ایزووترم مدل فروندلیچ، نسبت به مدل ایزووترمی لانگمیر بر ترتیب آزمایش ایزووترمی انطباق بهتری داشت و ضریب همبستگی آن برابر ۰/۹۰۷ بود (نمودار شماره ۳).

**نمودار ۳- ایزووترم فروندلیچ نانوتیوب کربنی با دوزهای جاذب ۰/۰۵، ۰/۱، ۰/۲، ۰/۳، ۰/۴ گرم (زمان ۲۴ ساعت در ۳ pH=۳ و غلظت اولیه رنگ ۲۵ میلیگرم در لیتر)**



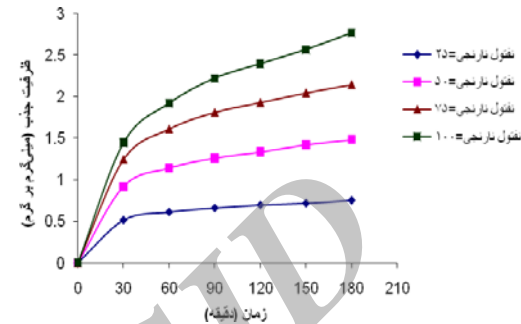
زمان تعادل واکنش جذب، ۱۸۰ دقیقه در نظر گرفته شد. حداکثر مقدار رنگ جذب شده در واحد جرم جاذب در این زمان تعادل برای غلظت‌های ۰/۰۵، ۰/۱، ۰/۲، ۰/۳، ۰/۴ و ۰/۵ میلیگرم بر لیتر به ترتیب برابر ۷۵۴، ۱۴۸۱، ۲/۱۴۵ و ۲/۷۶۳ میلیگرم بر گرم به دست آمد.

#### \* بحث و نتیجه‌گیری:

این مطالعه نشان داد که با افزایش غلظت اولیه رنگ، کارآیی حذف کاهش، ولی ظرفیت جذب افزایش یافت. در غلظت اولیه پایین، جذب رنگ توسط جاذب بسیار زیاد است و به سرعت به تعادل می‌رسد. در مقدار مشخصی از جاذب، با افزایش غلظت رنگ، مقدار ماده جذب شده در واحد جرم جاذب، افزایش و در نتیجه کارآیی جذب کاهش می‌یابد.<sup>(۳)</sup> ژو و همکاران در سال ۲۰۱۰ جذب رنگ متیل نارنجی (MO) را با استفاده از نانوتیوب کربنی چند جداره انجام و نشان دادند که ظرفیت جذب رنگ MO با افزایش غلظت اولیه رنگ، افزایش یافت.<sup>(۱۴)</sup>

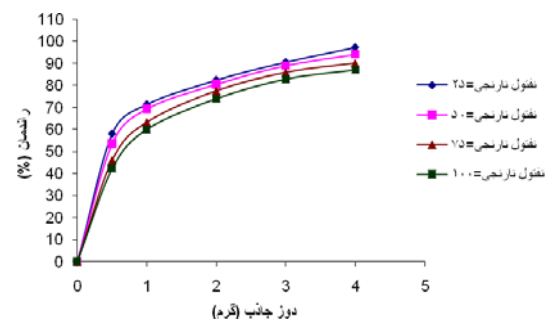
کارآیی حذف رنگ کاهش یافت (نمودار شماره ۱).

**نمودار ۱- ظرفیت جذب نسبت به زمان در غلظت‌های اولیه مختلف رنگ بر حسب میلیگرم بر لیتر (۳ pH=۳ و غلظت ۳/۰ گرم نانوتیوب کربنی)**



با افزایش شدت اختلاط از ۴۰ به ۱۲۰ دور در دقیقه، کارآیی جذب از ۶۸/۴ به ۹۷/۸ درصد افزایش یافت. با افزایش دوز جاذب، کارآیی حذف رنگ افزایش یافت (نمودار شماره ۲).

**نمودار ۲- تغییرات کارآیی حذف رنگ نسبت به دوز جاذب در غلظت‌های اولیه مختلف رنگ بر حسب میلیگرم بر لیتر (۳ pH=۳) و زمان ۱۸۰ دقیقه)**



حداکثر جذب رنگ در ۳۰ دقیقه اول و ظرفیت جذب سطحی رنگ ۲/۷۶ میلیگرم بر گرم بود. با کاهش غلظت اولیه رنگ از ۱۰۰ به ۲۵ میلیگرم در لیتر، کارآیی حذف از ۸۷ درصد به ۹۷/۲ درصد افزایش یافت و با افزایش جاذب از ۰/۰۵ به ۰/۴ گرم، کارآیی حذف از ۷۰/۷ درصد به ۹۴/۸ درصد افزایش یافت. سرعت واکنش از معادله درجه دوم کاذب و ایزووترم از مدل فروندلیچ تبعیت کرد و

مراحل اولیه، تعداد زیادی از مکان‌های سطحی خالی برای جذب سطحی در دسترس است و با گذشت زمان، اشغال مکان‌های سطحی خالی باقی‌مانده مشکل می‌شود؛ زیرا بین مولکول‌های رنگ جذب شده روی سطح جامد و مولکول‌هایی که در حالت محلول قرار دارند، دافعه به وجود می‌آید.<sup>(۱۲,۱۳)</sup> در مطالعه موسوی و همکاران که در سال ۲۰۱۳ در زمینه جذب اسید هیومیک از محلول‌های آبی توسط نانوتیوب‌های کربنی تک جداره انجام شد، اثر زمان تماس در فواصل زمانی ۱ تا ۱۸۰ دقیقه با غلظت اولیه ۲۰ میلی‌گرم در لیتر بررسی شد و حداقل کارآیی حذف در زمان تماس ۳۰ دقیقه اتفاق افتاد.<sup>(۱۴)</sup> در حالی که در مطالعه حاضر، حداقل کارآیی حذف رنگ اسیدی با غلظت اولیه ۵۰ میلی‌گرم در لیتر و دوز بهینه ثابت جاذب ۰/۳ گرم نانوتیوب‌های کربنی چند جداره، در زمان تماس ۶۰ دقیقه اتفاق افتاد.

مدرکیان و همکاران در سال ۲۰۱۱ در مطالعه‌ای تحت عنوان حذف رنگ‌های کاتیونی از محلول‌های آبی با استفاده از نانوتیوب‌های کربنی چند جداره مگنتیک شده، داده‌های تحقیق خود را با مدل جذب لانگمیر تحلیل کردند.<sup>(۱۵)</sup>

یافته‌های مطالعه نشان داد که سرعت جذب از سرعت واکنش درجه دوم کاذب تبعیت می‌کرد ( $R^2=0.968$ ).<sup>(۱۶)</sup> جیانگ جی و همکاران در سال ۲۰۱۱ در مطالعه‌ای حذف رنگ متیلن آبی را با استفاده از نانوتیوب‌های کربنی چند جداره بررسی کردند. سرعت واکنش جذب در مطالعه آن‌ها با مدل درجه دوم کاذب توصیف شد که با نتایج مطالعه حاضر مطابقت دارد.<sup>(۱۷)</sup>

مطالعه حاضر نشان داد که با افزایش دوز جاذب، کارآیی حذف افزایش و ظرفیت جذب کاهش یافت. همچنین به علت داشتن حداکثر جذب در ۳۰ دقیقه اول، مدت ۳۰ دقیقه به عنوان زمان بهینه تعیین شد. با کاهش مقدار pH از ۱۱ به ۳ کارآیی حذف افزایش یافت و بیشترین کارآیی حذف رنگ در pH برابر ۳ (pH بهینه) به دست آمد. با افزایش شدت اختلاط، کارآیی حذف

بررسی کارآیی حذف رنگ آزو در پساب‌های نساجی در غلظت‌های اولیه مختلف با دوز جاذب بهینه ۰/۸ گرم کربن فعال تهیه شده از چوب درخت گردو، در سال ۱۳۸۹ توسط محوی و هیبتی انجام شد. نتایج حاکی از این بود که کارآیی حذف رنگ در غلظت‌های اولیه ۲۵، ۵۰ و ۷۵ میلی‌گرم در لیتر به ترتیب برابر با ۴۰/۰۸، ۵۶/۵۶ و ۳۹/۶۸ درصد بود.<sup>(۱۸)</sup> در حالی که در مطالعه حاضر برای حذف همین غلظتها از رنگ اسیدی مورد مطالعه، با دوز بهینه جاذب ۰/۳ گرم نانوتیوب‌های کربنی چند جداره، کارآیی حذف به ترتیب برابر با ۸۸/۹، ۹۰/۵ و ۸۲/۹ درصد بود.

ماچادو و همکاران در سال ۲۰۱۱ اثرات pH اولیه را بر روی میزان حذف رنگ راکتیو قرمز (RRM) M-2BE در محلول‌های آبی به کمک نانوتیوب‌های کربنی چند جداره بررسی کردند و نشان دادند با استفاده از جاذب نانوتیوب‌های کربنی چند جداره و کاهش مقدار pH از ۲ به ۱۰، کارآیی درصد حذف رنگ (RRM) کاهش یافت.<sup>(۱۹)</sup> این نتایج با نتایج تحقیق حاضر همخوانی دارد. محوی و هیبتی در مطالعه خود محلول رنگ را با pH‌های ۵، ۷، ۹ و ۱۱ تهیه کردند. شرایط بهینه جذب در pH=۵ و کارآیی حذف در این pH ۵۲/۴۶ درصد بود.<sup>(۱۹)</sup> در حالی که کارآیی حذف نانوتیوب‌های کربنی چند جداره در حذف رنگ اسیدی مورد مطالعه در تحقیق حاضر، در شرایط اسیدی ۹۲/۵ درصد بود.

در این مطالعه با افزایش دوز جاذب، کارآیی جذب نیز زیاد شد. وو و همکاران در سال ۲۰۰۷ در مطالعه‌ای جذب رنگ راکتیو را بر روی نانوتیوب‌های کربنی بررسی کردند و نتیجه گرفتند که ظرفیت جذب ابتدا افزایش یافت و سپس همچنان که مقدار نانوتیوب‌های کربنی افزایش می‌یافت، ظرفیت جذب افت کرد که این نتیجه با نتایج مطالعه حاضر همخوانی دارد.

در خصوص اثر زمان تماس، مطالعه‌ها نشان داده‌اند که جذب رنگ در مراحل اولیه زمان تصفیه، سریع و در نزدیکی حالت تعادل، کُند می‌شود. واضح است که در

5. Mishra AK, Arockiadoss T, Ramaprabhu S. Study of removal of azo dye by functionalized multi walled carbon nanotubes. *Chem Eng J* 2010 Sep 1; 162 (3): 1026-34.
6. Madrakian T, Afkhami A, Ahmadi M, Bagheri H. Removal of some cationic dyes from aqueous solutions using magnetic-modified multi-walled carbon nanotubes. *J Hazard Mater* 2011 Nov 30; 196: 109-14.
7. Dalvand A, Gholami M, Gonedi A, et al. Study of efficiency of electrochemical coagulation for Reactive Red 198 dye removal from color effluent. *J Color Science Technology* 2010; 3: 97-105 [In Persian].
8. Ghaneian MT. Application of ozonation process in removal of Reactive Red 198 dye in alkaline conditions. *Yazd Faculty of Public Health. J Tolooe-Behdasht* 2011; 9 (2-3): 127-38 [In Persian].
9. Gong J, Wang B, Zeng G, et al. Removal of cationic dyes from aqueous solution using magnetic multi-wall carbon nanotube nanocomposite as adsorbent. *J Hazard Mater* 2009 May 30; 164 (2-3): 1517-22.
10. Qu S, Huang F, Yu S, et al. Magnetic removal of dyes from aqueous solution using multi-walled carbon nanotubes filled with Fe<sub>2</sub>O<sub>3</sub> particles. *J Hazard Mater* 2008 Dec 30; 160 (2-3): 643-7.
11. Jiang G, Zheng X, Wang Y. Photo-degradation of methylene blue by multi-walled carbon nanotubes/TiO<sub>2</sub> composites. *Powder Technol* 2011; 207: 465-9.
12. Kuo CY. Preventive dye-degradation mechanisms using UV/TiO<sub>2</sub>/carbon nanotubes process. *J Hazard Mater* 2009 Apr 15; 163 (1): 239-44.
13. Yao Y, Bing H, Feifei X, et al. Equilibrium and kinetic studies of methyl orange adsorption on multiwalled carbon

افزایش یافت و بیشترین میزان حذف در ۱۲۰ دور در دقیقه بود. سرعت واکنش با معادله درجه دوم کاذب توصیف شد و ایزوترم جذب از مدل فرونالیج تعیت کرد. نانوتیوب‌های کربنی چند جداره را به دلیل اندازه کوچک، سطح مقطع زیاد، شکل کربستالی و نظم شبکه‌ای منحصر به فرد، واکنش‌پذیری بسیار زیاد و عملکرد قابل توجه به عنوان جاذب در حذف آلاینده‌های آلی از محلول‌های آبی، می‌توان جهت حذف رنگ ۲- نفتول نارنجی به طور مؤثری به کار برد.

#### \* سپاس گزاری:

از همکاری مسؤولین و کارکنان آزمایشگاه گروه مهندسی بهداشت محیط دانشکده بهداشت دانشگاه علوم پزشکی یزد در انجام این تحقیق قدردانی می‌شود.

#### \* مراجع:

1. Chang PR, Zheng P, Liu B, et al. Characterization of magnetic soluble starch-functionalized carbon nanotubes and its application for the adsorption of the dyes. *J Hazard Mater* 2011 Feb 28; 186 (2-3): 2144-50.
2. Wu CH. Adsorption of reactive dye onto carbon nanotubes: equilibrium, kinetics and thermodynamics. *J Hazard Mater* 2006 Jun 1; 144 (1-2): 93-100.
3. Machado FM, Bergmann CP, Fernandes TH, et al. Adsorption of Reactive Red M-2BE dye from water solutions by multi-walled carbon nanotubes and activated carbon. *J Hazard Mater* 2011 Sep 15; 192 (3): 1122-31.
4. Ghaneian MT, Ghanizadeh G, Gholami M, et al. Application of eggshell as a natural sorbent for the removal of Reactive Red 123 dye from synthetic textile wastewater. *J Tabib-e-Shargh* 2010 winter; 11 (4): 25-34 [In Persian].

- nanotubes. *Chem Eng J* 2011 May 15; 170 (1): 82-9
14. Zhu Y. Preparation, characterization, adsorption kinetics and thermodynamics of novel magnetic chitosan enwrapping nanosized c- $\text{Fe}_2\text{O}_3$  and multi-walled carbon nanotubes with enhanced adsorption properties for methyl orange. *Bioresource Technol* 2010; 101: 5063-9
15. Ravelo-Pérez LM, Hernández-Borges J, Rodríguez-Delgado MA. Multi-walled carbon nanotubes as efficient solid-phase extraction materials of organophosphorus pesticides from apple, grape, orange and pineapple fruit juices. *J Chromatogr A* 2008 Nov 21; 1211 (1-2): 33-42
16. Xu S, Ng J, Zhang X, et al. Adsorption and photocatalytic degradation of Acid Orange 7 over hydrothermally synthesized mesoporous  $\text{TiO}_2$  nanotube. *Colloids and Surfaces A* 2011 Apr 20; 379 (1-3): 169-75
17. Hadi M, Samarghandi MR, Azizian S, et al. Using Thomas Model to evaluate dye removal from aqueous solutions in Fixed-bed columns of Activated Carbon. *J Water & Wastewater* 2011; 1: 23-34 [In Persian]
18. Al-Rashed S, Al-Gaid A. Kinetic and thermodynamic studies on the adsorption behavior of Rhodamine B dye on Duolite C-20 resin. *J Saudi Chemical Society* 2012 Apr; 16 (2): 209-15
19. Mahvi AH, Heibati B. Removal efficiency of azo dyes from textile effluent using activated carbon made from walnut wood and determination of isotherms of acid red 18. *J Salamat Behdasht Ardabil* 2011; 1 (3): 7-15 [In Persian]
20. Moussavi SP, Ehrampoush MH, Mahvi AH, et al. Adsorption of Humic Acid from Aqueous Solution on Single-Walled Carbon Nanotubes. *Asian J Chem* 2013; 25 (10): 5319-24